

شبیه سازی احتراق آشفته در موتورهای اشتعال جرقه ای (Fractal Geometry) با روش سطوح شعله مواج

رضا آملی مقدم ترشیز
دانشجوی کارشناسی ارشد

محمد رضا مدرس رضوی
دانشیار

دانشکده مهندسی، دانشگاه فردوسی مشهد

چکیده

آنچه در این مقاله ارائه می شود، معرفی یک مدل احتراق آشفته نسبتاً جدید برای موتورهای اشتعال جرقه ای می باشد. در این مدل که از نوع شبیه ابعادی است، با در نظر گرفتن یک سطح شعله مواج [۱-۵]، میزان نوخ جرم سوخته شده در واحد زمان محاسبه می گردد. این مدل اساساً نیاز به مشخصات آشفته سیال داخل سیلندر را دارد و بنابراین خود یک مدل آشفته جهت پیشگویی رفتار موتور به حساب می آید. در کار حاضر رفتار موتور در سه مرحله تراکم، احتراق و انسپاکت شبیه سازی گردیده است. در انتها نتایج به دست آمده برای موتوری که اطلاعات آزمایشگاهی راجع به آن موجود بوده است، با مدل سوختن گردابه ای مقایسه گردیده و قابلیت پیشگویی مدل احتراق آشفته با روش سطوح شعله مواج نشان داده است.

Simulation of Turbulent Combustion in spark Ignition Engines Using Fractal Burning Model

M. R. Modarres Razavi
Associate Professor

R. Amoly Moghaddem Torsheeze
Postgraduate student

Mech. Engin. Dept. Ferdowsi Univ. of Mashhad

Abstract

The aim of this paper is to introduce the developed computer simulation code which uses the concept of fractal geometry [1-5] to model the effect of turbulence on flame propagation in a homogeneous charge SI engine.

The present work predicts the behaviour of an engine from the time of the inlet valve closing (IVC) until the time of the exhaust valve opening (ENO). It means that the program simulates the three processes of compression, combustion and expansion. Finally, the model predictions of the cylinder pressure histories are compared with experimental data for the given engine [3] over a range ads and equivalence ratios.

امروزه برنامه های شبیه سازی به عنوان مهمترین ابزار جهت طراحی و توسعه موتورها به کار می رود و اصلی ترین بخش این برنامه های شبیه سازی، مدلسازی احتراق و یا پیشگویی نرخ سوخت محترق شده می باشد. یکی از روش های شبیه سازی احتراق، مدل های شبیه ابعادی (Quasi-dimensional) هستند. مهمترین نکته در این مدل ها قابلیت پیشگویی نرخ احتراق می باشد. نرخ احتراق است که تغییرات فشار و دما در چلو و پشت جبهه شعله را تحت تأثیر قرار داده و روند تغییرات آنها را مشخص می کند. این دمایا نیز به نوبه خود بر روی اکسیدهای ازت تولیدی، انتقال حرارت و غیره تأثیر می گذارند. مدل های دو ناحیه ای اولیه عبارات تجربی را برای نرخ سوختن استفاده می نمودند و همچنین برای طول مدت سوختن مقادیری را فرض می کردند [۶].

یک روش متداول تر استفاده از طرح سوختن گردابه ای "eddy burning model" می باشد، که اولین بار توسط بلیزاردو کک [۷] بیان شد. مشکلات طرح احتراق گردابه ای اولیه توسط تاباژینسکی و همکارانش [۸] با ارائه یک فرم قابل قبول برای گردابه هایی که توسط مقیاس انتگرالی، ریز مقیاس تیلور و مقیاس کولموگروف توصیف می شوند (شکل ۱)، اصلاح شد. یک مدل $U = k \cdot U_{\text{mean}} + T_{\text{ram}} \cdot \sin(\theta)$ (صفر بعدی)، برای کم کردن برخی از فرضیات اولیه پیشنهادی حوزه جریان آشفته، توسط دیویس و همکارانش [۹] به این طرح اضافه شد. طرح احتراق گردابه ای طی یک دوره ۱۶ ساله اصلاح شده و اثرات چرخش و هندسه غیر متقاضی در آن ملاحظه گردیده است [۱۰ و ۱۱].

مدل احتراق آشفته با روش سطح شعله (Fractal Engine Simulation - FES) مواج

گولدین در بیست و یکمین سمپوزیوم بین المللی احتراق در سال ۱۹۸۶ / [۱۲] گزارشی را در یک مقاله تحت عنوان استفاده از سطوح شعله مواج برای طراحی احتراق پیش آمیخته ارائه کرد. همانطوری که می دانیم احتراق پیش آمیخته آشفته واقع می شود [۱۳]. پس از ارائه این مقاله، آقایان مائئوس و چین [۱] از دانشگاه تگزاس شروع به تحقیق پیرامون این موضوع کردند که آیا مفاهیم سطوح شعله مواج برای طراحی فرآیند احتراق آشفته به عنوان یک عضو کلیدی در یک برنامه رایانه ای

شبیه ابعادی در موتورهای اشتعال جرقه ای مفید خواهد بود یا نه؟

پیشگویی های این برنامه، که به نام اختصاری (University of Texas Fractal Engine Model) UT-FEM شناخته شد، با نتایج آزمایشگاهی موجود مقایسه شد [۱] و نتایج کامل تر و تغییر یافته آن در مرجع [۲] ارائه شده است. اگر چه پسیاری از موضوعات و مسائل طرح شده در مورد وضعیت و ظاهر شعله مواج در موتورها هنوز به طور کامل حل نشده است ولی روش سطوح شعله مواج نوید ابزار تازه ای برای شبیه سازی فرآیند احتراق در موتورهای اشتعال جرقه ای را می دهد.

اساس کار فعلی، توسعه یک برنامه رایانه ای شبیه سازی احتراق آشفته در موتورهای اشتعال جرقه ای با روش سطوح شعله مواج است که تقریباً مشابه ماتئوس و چین [۳] می باشد که برای اولین بار در ایران انجام یافته است. البته تفاوت هایی بین این برنامه و مدل مرجع [۳] وجود دارد که مهمترین آنها عبارتند از:

- ۱ - متفاوت بودن مدل انتقال حرارت.
- ۲ - در نظر نگرفتن اثر "blow by/crevice flows" (در مدل حاضر).

۳ - متفاوت بودن مدل محاسبات خواص ترمودینامیکی و انتقالی مخلوط و محصولات احتراق داخلی. اگر آشфтگی در یک موتور در مراحل انتهایی فرآیند تراکم، همگن و ایزوتروپیک باشد و اگر انتشار شعله بر روی میزان آشفتگی ناحیه محترق نشده اثری نگذارد، موتور تقریباً شرایط جریان آشفته ایده آل را خواهد داشت و اثرات آشفتگی در موتور، افزایش دادن متوسط سطح شعله در اثر انبساط و یا کشیدگی آن می باشد. شچالکین [۱۴] اولین کسی بود که گزارش کرد، هنگامی که مقیاس آشفتگی بزرگتر از ضخامت شعله باشد، گردابه ها شعله را مواج خواهند کرد، بنابر این سطح شعله را افزایش داده و به تبع سرعت شعله افزایش می یابد.

$$u_T = \frac{A_T}{A_L} u_L \quad (1)$$

که u_T سرعت شعله آشفتگی، u_L سرعت شعله آرام و A_T/A_L نسبت افزایش سطح شعله است که به سبب حوزه جریان آشفته مواج شده است. گولدین [۱۲] نشان داده است که نسبت افزایش

$$L_{\min} = C_3 \eta \quad (3)$$

از آنجایی که می نیم مقياس چین خوردگی شعله هنوز در موتورها تعیین نشده است [۱۷]، فرض می کنیم مقدار متوسط آن در مورد شعله مشعل های پایدار، برای موتورها نیز معتر باشد (یعنی $C_3 = ۳/۵۵$).

نشان داده شده است که ماکریزم مقیاس چین خوردگی شعله بزرگتر از مقیاس انتگرالی در شعله های مشعل آزمایشگاهی می باشد. برای مثال گولدین و همکارانش [۱۵] دریافتند که ماکریزم مقیاس چین خوردگی برای یک شعله پایدار و "V" شکل حاصل از مخلوط هوا و متان حدود $۲/۹$ تا $۳/۲$ برابر مقیاس انتگرالی است و موری یاما و تاکنو [۱۶] گزارش دادند که ماکریزم مقیاس چین خوردگی شعله بزرگتر از مقیاس انتگرالی برای یک شعله پایدار است و در حدود دو سوم قطر مشعل برای حالت مورد نظر ایشان می باشد. آنچه مسلم است، ماکریزم مقیاس چین خوردگی شعله نمی تواند از ابعاد شعله بزرگتر باشد. در خلال رشد سریع شعله، ابعاد شعله از مقیاس انتگرالی کوچکتر است و همچنان که شعله رشد می کند، ابعاد شعله گسترش می یابد. آقایان ماتئوس و چین [۳] سه فرض برای ماکریزم مقیاس چین خوردگی شعله پیشنهاد کردند. اولین فرض این است که ماکریزم مقیاس چین خوردگی شعله معادل با شاعع لحظه ای شعله در خلال مرحله احتراق باشد یعنی:

$$\frac{L_{\max}}{L_{\min}} = \frac{r_f}{3.55\eta} \quad (4) \quad (\text{فرض اول})$$

این فرض حداقل مقدار ممکن از جهت فیزیکی را بیان می کند. فرض دوم ماکریزم مقیاس چین خوردگی شعله را تشعاع های شعله ای که معادل فاصله لحظه ای پیشون تا نوک سرسیلندر باشد، محدود می کند. پس از آن مقدار ماکریزم مقیاس چین خوردگی معادل با h_{gap} خواهد بود. این حالت از دو جهت جالب توجه است.

- ۱ - اگر از میان قطر سیلندر به محفوظه احتراق نگاه کنیم، لقی لحظه ای بزرگترین بعد شعله خواهد بود.
- ۲ - به دلیل این که مقیاس طول انتگرالی (L) حدود $۰/۳$ لقی است [۱۸] و از آنجایی که فرض شده است که می نیم چین خوردگی شعله معادل با $۳/۵۵\eta$ باشد نتیجه خواهد شد:

سطح برای شعله آرام چین خوردگی می تواند با استفاده از هندسه موجی شکل پیشگویی شود. با جاگذاری بیان او در معادله (۱) داریم:

$$u_T = u_L \left[\frac{L_{\max}}{L_{\min}} \right]^{D3 - 2} \quad (2)$$

که در آن L_{\max} و L_{\min} ماکریزم و می نیم مقياس های چین خوردگی شعله و $D3$ بعد موج (fractal dimension) یک سطح ناهموار در سه بعد مکانی فضای مخصوص ناهمواری با درجه چین خوردگی شعله را نشان خواهد داد.

دو نکته قابل توجه و با اهمیت روش سطوح مواج در معادله (۲) آشکار شده است. نکته اول این که سرعت شعله آشفته همانطوری که در معادله (۲) نشان داده شده است. بستگی به سرعت شعله آرام منبسط شده (L_{\min}) دارد نه سرعت شعله آرام منبسط نشده (S_L). از آن جایی که سرعت شعله آرام منبسط نشده یک خاصیت ترموشیمیایی است، می توان آن را برای سوخت های هیدروکربنی برآورد کرد. نکته مهم، چگونگی ارتباط میان سرعت شعله آرام منبسط شده با سرعت شعله آرام منبسط نشده و عوامل مؤثر در انبساط شعله (حوزه جریان و انحنای شعله) می باشد. دو مین نکته جالب توجه در معادله (۲) آن است که نرخ احتراق آشفته، وابسته به مقیاس های چین خوردگی هستند، نه مقیاس های طول آشفته. بعد موج یک اندازه کمی از توزیع مقیاس های چین خوردگی شعله بین حدود L_{\max} و L_{\min} می باشد.

مقیاس های چین خوردگی شعله

بزرگترین تردید در فرمولاسیون، مقیاس های چین خوردگی شعله می باشد. کوچکترین مقیاس چین خوردگی شعله (L_{\min}) هنوز در موتورها به صورت یک معادله مشخص بیان نشده است. از نظر چین و همکارانش [۳]، بزرگترین مقیاس چین خوردگی شعله نیز همان شرایط را دارد. بنابراین، سه فرض در مورد هسبت مقیاس های چین خوردگی شعله به کار گرفته می شود که تقریباً تمامی حوزه نسبت های فیزیکی ممکن را در بر می گیرد. می نیم مقیاس چین خوردگی شعله در مراجع [۱۵ و ۱۶] بین $۱/۲$ تا $۸/۵$ برابر مقیاس کولموگروف در شعله های "V" شکل و پایدار معرفی شده است.

$$D3 = 2.35 \frac{u'}{u' + S_L} + 2.0 \frac{S_L}{u' + S_L} \quad (7)$$

در کار حاضر نیز این طرح در شبیه سازی D3 مورد استفاده قرار گرفته است، زیرا در مرجع [۲] نشان داده شده است که معادله (۷) یک طرح قابل قبول برای کاربرد در موتورهای اشتعال جرقه ای با مخلوط شارژ همگن است. تخمین بعد موج با استفاده از این مدل کاهش مقدار آن را در حین فرآیند احتراق در موتور نشان می دهد. این بین معنی است که هرچه زمان می گذرد و شعله در داخل محفظه سیلندر منتشر می شود، کمتر چین خورده می شود. این نتیجه ابتدا سبب کاهش سرعت شعله آرام می گردد و کاهش سرعت شعله آرام به نوبه خود سبب کاهش در دمای گازهای محترق نشده می شود.

روش محاسباتی

کل روش محاسباتی در مراحل زیر خلاصه شده است.

(۱) از یک طرح عمومی و بدون بعد آشفته "k-E" مقابله شدت آشفتگی α و بزرگترین مقیاس آشفتگی (L_i = Integral length Scale) و همچنین نرخ اتلاف انرژی جنبشی آشфтگی محاسبه می شود. طرح ساده انتخاب شده همان طرح مورد استفاده توسط ماتئوس و چین [۳] می باشد.
نرخ تغییرات انرژی جنبشی آشفتگی عبارت است از:

$$\frac{dk}{dt} = P - m\epsilon - k \frac{\dot{m}_e}{m} \quad (8)$$

که در آن P میزان تولید انرژی جنبشی می باشد و به صورت زیر ارائه می شود:

$$P = \mu_t \left[\frac{\partial U}{\partial y} \right]^2 \quad (9a)$$

$$\mu_t = C_\mu \frac{k^2}{m\epsilon} \quad (9b)$$

گرادیان سرعت ظاهر شده در معادله (۹a) به شکل زیر ارائه می شود:

$$\left[\frac{\partial U}{\partial y} \right]^2 = C_\beta \left[\frac{U}{L} \right]^2 - C_\beta \left[\frac{V_p}{h_{gap}} \right]^2 \quad (9c)$$

در معادلات (۹)، U سرعت متوسط جریان توده

$$\frac{L_{max}}{L_{min}} = \frac{r_f}{3.55\eta} \quad (r_f < h_{gap}) \quad \text{اگر} \quad (5a)$$

(فرض دوم:)

$$(5b)$$

$$\frac{L_{max}}{L_{min}} = \frac{h_{gap}}{3.55\eta} = \frac{L_i / 0.3}{3.55\eta} \approx \frac{L_i}{\eta} \quad (r_f \geq h_{gap}) \quad \text{اگر}$$

فرض سوم این است که ماکزیمم مقیاس چین خورده شعله دو برابر مقیاس طول انتگرالی است که نتیجه کار آقای براکو و همکارانش [۱۷] می باشد:

$$\frac{L_{max}}{L_{min}} = \frac{2L_i}{3.55\eta} \quad (فرض سوم: ۶)$$

این فرض نسبت به دو فرض قبلی کمترین نرخ احتراق را نتیجه می دهد.

بعد موج

برای انتشار شعله پیش آمیخته در یک حوزه جریان آرام، سطح شعله صاف خواهد بود و بعد موج معادل ابعاد مکانی یک سطح صاف یعنی $D3=2$ می باشد. تئوری های متفاوتی برای حد بالایی بعد موج در انتشار یک شعله پیش آمیخته واقع در حوزه جریان با رینولدز های بالا پیشنهاد شده است [۱۹] که تغییرات مقادیری از $2/22$ تا $2/41$ را شامل می شود. آقای براکو و همکارانش [۱۷] ماکزیمم مقداری حدود $2/3$ را برای موتور پریستون به دست آورده اند. همچنین، نشان داده شده است که بعد موج با افزایش شدت آشفتگی در شعله های نوع مشعلی افزایش می یابد. [۲۰] لیو و همکارانش [۲۱] یک رابطه بین بعد موج، شدت آشفتگی و سرعت شعله آرام منبسط نشده، ارائه داده اند. این مدل براساس این استدلال فیزیکی بنا شده است که مکانیزم تولید چین خورده های شعله در اثر حرکت های جابجایی آشفتگی می باشد که با شدت آشفتگی α مشخص شده اند. این چین خورده های با فرآیند احتراق که با S_L مشخص می شوند، کاهش می یابند (یعنی چین خورده های با مقیاس کوچک صاف می گردند). طرح ایشان یک متوسط وزنی از اثرات بین دو حد بعد موج را به صورت زیر بیان می کند.

(۲) محاسبات احتراقی از یک هسته مرکزی شعله که بین فضای الکترودهای شمع قرار می‌گیرد، شروع می‌شود. جرم به تله افتاده در فضای بین این دو الکترود، شمع را می‌توان به صورت یک کره به قطر فاصله دهانه شمع در نظر گرفت. دمای این جرم بعد از احتراق آن معادل دمای آدیباتیک شعله است و دمای گازهای اولیه از مقدار جرم به تله افتاده و نسبت گازهای باقیمانده قابل محاسبه است. با توجه به نتایج طرح‌های قبلی که بر حساسیت این دما تأکید کرده‌اند و همگی بر این باورند که اگر این دما تا حدود ۱۰٪ تقلیل یابد، پیشگویی فشار بهتری میسر است [۲۳]، این میزان کاهش نیز در برنامه منظور گردیده است.

(۳) سومین مرحله، برآورد سرعت شعله آرام منبسط شده (S_L) می‌باشد، که براساس دما و فشار مخلوط محترق نشده و با استفاده از رابطه تجربی ارائه شده توسط کک و متالچی [۲۴] به دست می‌آید.

$$S_L = S_L^0 \left[\frac{T_4}{298} \right]^a \left[\frac{P}{P_0} \right]^b \quad (12a)$$

$$S_L^0 = 0.3422 - 1.3865 (\phi - 1.08)^2 \quad (12b)$$

برای مخلوط پروپان و هوا مقادیر a و b به شکل زیر می‌باشند.

$$a = 2.18 - 0.8 (\phi - 1) \quad (12c)$$

$$b = -0.16 + 0.22 (\phi - 1) \quad (12d)$$

S_L^0 و a و b پارامترهایی هستند که برای یک نسبت هم ارزی معین، مقادیر ثابتی خواهند بود. اگر نوع سوخت عوض شود، ضرایب موجود در معادلات (۱۲d) و (۱۲c) نیز تغییر خواهند نمود. در معادلات T_u (۱۲) دمای ناحیه محترق نشده، P فشار داخل سیلندر، P_0 فشار جو، f نسبت گازهای باقیمانده، ϕ نسبت هم ارزی S_L سرعت شعله آرام منبسط نشده می‌باشد. سری معادلات (۱۲) برای حوزه وسیعی از دما، فشار، نسبت هم ارزی و نسبت گازهای باقیمانده قابل استفاده می‌باشد، این حدود عبارتند از:

(bulk flow) می‌باشد و V_p سرعت متوسط پیستون، C_μ یک ثابت غیرقابل تغییر ($C_\mu = 0.90$) و C_β یک ثابت قابل تنظیم در FES می‌باشد. C_β ضریب قابل تنظیم است که جهت انطباق نتایج تخمینی با نتایج آزمایشگاهی که در آن شدت آشفتگی برای سیال غیرفعال (محترق نشده) توسط گروف و همکارانش در مرجع [۲۲] به دست آمده است، تنظیم می‌گردد. جمله دوم سمت راست معادله (۸) معرف مقدار اختلاف انرژی جنبشی آشفتگی می‌باشد. با فرض جریان آشفته همگن و آیزوتروپیک می‌توان نوشت:

$$\epsilon = \frac{u^3}{L_i} = \frac{(V_p \epsilon)^{3/4}}{\eta} = \frac{u_k^3}{\mu} \quad (10)$$

جمله سوم طرف راست معادله (۸) عبارت است از اتلاف انرژی جنبشی به سبب خروج جرم از داخل محفظه سیلندر. با ترکیب معادلات (۸) و (۱۰) با معادلات (۹) نتیجه می‌شود:

$$\frac{dk}{dt} = \left[C_\mu \frac{k^2}{m \epsilon} \right] \left[C_\beta \left[\frac{V_p}{h_{gap}} \right]^2 \right] - m \epsilon - k \frac{\dot{m}_e}{m} \quad (11)$$

و از آنجایی که می‌دانیم $L_i = 0.3 h_{gap}$ ؛ $C_\mu = 0.09$ ؛ $k = \frac{3}{2} mu^2$ معادله (۱۱) به صورت زیر ساده‌سازی خواهد شد.

$$\frac{dk}{dt} = 0.0149 \frac{C_\beta V_p^2 m^{0.5}}{L_i} k^{0.5} - \frac{0.544}{m^{0.5} L_i} k^{1.5} - \frac{\dot{m}_e}{m} k \quad (12)$$

حال می‌باید معادله (۱۲) را برای به دست آمدن (t) k حل کرد و سپس مقدار u' را به عنوان تابعی از زمان در ناحیه محترق نشده در خلال فرآیند احتراق از معادله (۱۲) به دست آورد.

همچنین معادله (۱۰) را با در دست بودن مقدار u، برای به دست آوردن مقدار مقیاس کولوموگروف می‌باید حل نمود تا بتوان از این مقیاس در محاسبه نسبت $\frac{L_{max}}{L_{min}}$ استفاده کرد و مقدار u نیز از همان معادله به دست آورد. تا در محاسبه ضریب انبساط شعله استفاده گردد. نتایج آزمایشگاهی ارائه شده در مرجع [۲۲] برای دور ۱۵۰۰ rpm تهیه شده‌اند. در این دور، ثابت قابل تنظیم C_β را با معلوم بودن مقدار انرژی جنبشی آشفتگی در زمان بسته شدن سوپاپ ورودی و مقدار شدت آشفتگی در زمان جرقه زنی (جدول ۱) می‌توان به دست آورد.

$$K_s = \sqrt{\frac{E}{V}} \frac{1}{(C_3)^{2/3}} \quad (18)$$

جایی که ثابت C_3 ضریب تناسب وابسته به معادله $\eta \sim L_{\min}$ می باشد و راجع به مقدار آن در قسمت مقیاس چین خورگی شuele به طور مفصل بحث گردید.

(۵) پس از طی مراحل بیان شده نرخ سوختن جرم از عبارت زیر محاسبه می شود:

$$\dot{m}_b = \rho_u A_L u_L \left(\frac{L_{\max}}{L_{\min}} \right)^{D^3 - 2} \quad (19)$$

(۶) برای اولین محاسبه مقدار A_L در معادله (۱۹) مقدار سطح کره ای به قطر دهانه شمع می باشد. برای ادامه محاسبات نرخ سوختن جرم در زاویه میل لنج قبلی معلوم است و کافی است، معادلات دیفرانسیل بیان کننده اصول بقاء جرم، و انرژی را به انتظام معادله حالت گاز کامل (برای هر دو ناحیه محترق شده و محترق نشده، که دارای فشاری برابر و شامل ترم انتقال حرارت می باشد که از روابط ارائه شده توسط وشنی [۲۷] به دست می آید). حل کرده تا مقادیر فشار، دما و حجم در هر دو ناحیه مذکور و همچنین جرم سوخته نشده در مرحله زمانی جدید به دست آید. ترکیب محصولات احتراق تعادلی با استفاده از روش بنسون [۲۸] و موازنۀ اجزاء مخلوط با استفاده از روش پیشنهادی هی وود [۲۹] به دست می آید. خواص ترمودینامیکی مخلوط نیز با استفاده از روش ارائه شده در مرجع [۲۸] به دست آمده است. همچنین خواص انتقالی مخلوط ها با استفاده از روش ارائه شده در مرجع [۳۰] به دست آمده است.

(۷) حجم ناحیه سوخته شده، V_f که دارای شعاع کره معادل شuele باشد به شکل زیر محاسبه می شود:

$$V_f = \frac{\pi}{8} B^3 \left\{ \left(\frac{1}{3} \left[\frac{2r_f}{B} \right]^3 [\alpha^3 - \beta^3 - 3(\alpha - \beta)] \right) + \frac{2r_f}{B} \alpha \right\} \quad (20)$$

که در آن B قطر سیلندر، α و β به منظور حذف مقادیر اضافه مربوط به حجم ها و سطوح واقع شده در خارج از محفظه سیلندر، تعریف می شوند:

$$10^5 \text{ Pa} < P < 5 \cdot 10^6 \text{ Pa} \quad (13e)$$

$$0.8 < \phi < 1.5 \quad (13f)$$

$$350 \text{ K} < T_u < 700 \text{ K} \quad (13g)$$

$$0 < f < 0.2 \quad (13h)$$

(۴) چهارمین مرحله محاسبه سرعت شuele آرام منبسط شده (u_L) از روی سرعت شuele آرام منبسط نشده (u_L) می باشد. سرعت شuele آرام منبسط شده به شکل زیر می تواند ساده سازی شود، با فرض اینکه انتقال حرارت از سطح شuele وجود ندارد و اعداد بدون بعد لوئیس و پراتتل تقریباً معادل ۱ می باشد . [۲۵]

$$u_L = S_L \left[1 - \frac{V}{S_L^2} K \right] \quad (14)$$

که V لزجت سینماتیک آرام مخلوط محترق نشده و ضریب انبساط شuele می باشد. چانگ و همکارانش [۲۵] ضریب انبساط شuele را شامل دو ترم مربوط به انبساط شuele پایدار و کشش در گردابهای کوچک آشفته فرض نمودند.

$$K = K_E + K_S \quad (15)$$

جایی که K_E ضریب انبساط شuele براساس انبساط است و K_S ضریب انبساط شuele براساس کشش در گردابهای مقیاس کوچک می باشد. ترکیب معادلات (۱۴) و (۱۵) نتیجه می دهد:

$$u_L = S_L \left[1 - \frac{V}{S_L^2} (K_E + K_S) \right] \quad (16)$$

برای یک شuele منتشر شونده در میان یک مخلوط ساکن، می توان نشان داد [۲۶] :

$$K_E = \frac{2}{r_f} \frac{dr_f}{dt} \quad (17)$$

و همچنین می توان نشان داد که ضریب انبساط مربوط به کشش در گردابهای مقیاس کوچک از معادله زیر به دست می آید:

حاصل آزمایش‌های آنها بر روی یک موتور پرینستون تک سیلندر اشتغال جرقه‌ای است که مشخصات آن در جدول ۱ ارائه شده است. همانطوری که در شکل مشخص است اثر سه فرض مختلف برای مقیاس‌های چین خوردگی نیز نشان داده شده است و در اکثر حالات فرض دوم نتایج بهتری را تخمین می‌زند. همچنین شکل ۲ مقایسه پیشگویی‌های مدل احتراق آشفته شعله مواج با نتایج آزمایشگاهی را برای دو بار متفاوت نشان می‌دهد. پایین‌ترین بار آزمایش شده دارای یک راندمان حجمی ۱/۳۰ درصدی است که در این حالت فشار مانیفولد ورودی ۴۶/۹ kPa می‌باشد، و آشکار است که حدوداً در حالت بدون بار موتور تحت آزمایش قرار گرفته است. بالاترین بار آزمایش شده دارای یک راندمان حجمی ۸۴/۲ kPa درصدی با فشار مانیفولد ورودی ۸۰/۲ kPa می‌باشد. در تمام حالات، نمودارهای معرف

$L_{\min} = h_{\text{gap}} / 3.55\eta \approx L_i / \eta$ دقیقی را نشان می‌دهند. خصوصاً ماکزیمم فشار پیشگویی شده حدود ۱ درجه میل لنگ و ماکزیمم اختلاف فشار نیز مربوط به همان قله فشار می‌باشد. هر سه فرض، افزایش فشار را با حدود کمتر از ۱۲٪ خطانشان می‌دهند که این مربوط به همان قله فشار می‌باشد. هر سه فرض، افزایش فشار را با حدود کمتر از ۱۲٪ خطانشان می‌دهند، که این خطاهای فقط در حوزه ۱۵ تا ۳۰ درجه میل لنگ اتفاق افتاده است. البته برای فرض‌های شده است ولی در تمام حالات برنامه کامپیوتی برای این فرض‌ها اجرا شده است. همچنین برای مقایسه طرح احتراق آشفته شعله مواج با طرح احتراق گردابه‌ای پیشگویی این طرح نیز در شکل ۲ ارائه شده و این نمودار همان نموداری است که توسط پولوس و هی وود [۳۲] به دست آمده است. همانطوری که در این شکل مشخص است، پیشگویی‌های فشار احتراق گردابه‌ای در اکثر فرآیندهای احتراق خیلی کمتر از میزان واقعی را نشان می‌دهد.

شکل ۳ مقایسه پیشگویی‌های مدل شعله مواج را با نتایج آزمایشگاهی برای سه نسبت هم ارزی، نشان می‌دهد که این نسبت‌ها عبارتند از: نسبت هم ارزی ضعیف ($\phi = 0/868$)، نسبت هم ارزی نزدیک به استوکیومتریک ($\phi = 0/981$) و نسبت هم ارزی غنی ($\phi = 1/119$).

$$\alpha = 0 \quad \frac{r_f}{B/2} \leq 1 \quad \text{اگر} \quad (21a)$$

$$\alpha = \sqrt{1 - \left(\frac{B/2}{r_f}\right)^2} \quad \frac{r_f}{B/2} > 1 \quad \text{اگر} \quad (21b)$$

$$\beta = 1 \quad \frac{r_f}{h_{\text{gap}}} \leq 1 \quad \text{اگر} \quad (21c)$$

$$\beta = \frac{h_{\text{gap}}}{r_f} \quad \frac{r_f}{h_{\text{gap}}} > 1 \quad \text{اگر} \quad (21d)$$

۸) سطح شعله‌ای که شعاع آن r_f باشد نیز از رابطه زیر قابل تحلیل است:

$$A_f = A_L = \frac{\pi}{4} B^2 \left[2 \left(\frac{2r_f}{B} \right)^2 (\beta - \alpha) \right] \quad (22)$$

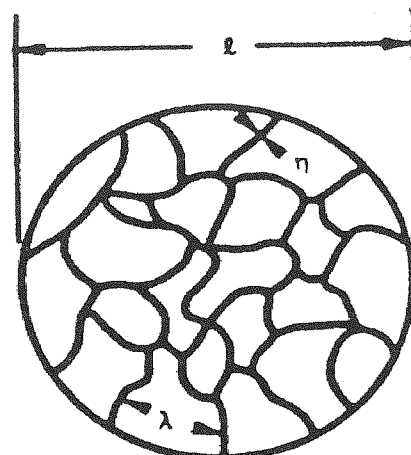
در طرح‌های مرسوم شبیه ابعادی موتور، فرض می‌شود، شعله به صورت کروی از طرف هسته جرقه به اطراف منتشر شود، اگرچه معلوم شده است که این فرض کاملاً درست نیست [۳۱]. در FES، تقریباً انتشار غیرکروی شعله با استفاده از روش پیشنهاد شده توسط با رو ویتنز [۳۱] به کار گرفته شده است. در این روش فرض می‌شود تا هنگام رسیدن شعله به سطح پیستون، شعله به صورت کروی منتشر شود و بعد از آن به مقدار سطح شعله محاسبه شده، ۱۰٪ افزوده می‌گردد.

۹) فشار، دما و دانسیته مخلوط محترق نشده در گام زمانی جدید از مرحله ۶ به دست می‌آید. سطح شعله مربوطه در گام زمانی جدید از مراحل ۷ و ۸ به دست خواهد آمد. مراحل ۴ تا ۸ تکرار می‌شوند تا زمانی که شعله به دورترین نقطه از گازهای محترق نشده در داخل محفظه سیلندر برسد.

بحث و نتیجه‌گیری

نمونه تخمین‌های برنامه توسعه یافته با استفاده از طرح احتراق آشفته شعله مواج مربوط به تغییرات فشار بر حسب تغییرات زاویه میل لنگ را با نتایج به دست آمده توسط گروف و همکاران [۲۲] در شکل ۲ مقایسه گردیده است. مشخصات آشفتگی ارائه شده توسط گروف و همکارانش [۲۲] بدلای جریان سرد در این مطالعه مورد استفاده قرار گرفته است. این مشخصات

r_f	(m)	شعاع شعله
S_L	(m/s)	سرعت آرام شعله منبسط نشده
S'_{L_i}	(m/s)	سرعت آرام شعله در دمای 298 K و فشار 1 atm برای مخلوط خالص سوخت و هوا
t	(s)	زمان
T_u	(K)	دما در ناحیه محترق نشده
U	(m/s)	سرعت متوسط جریان توده
u_k	(m/s)	سرعت کولموگروف
u_L	(m/s)	سرعت آرام شعله منبسط شده
u_T	(m/s)	سرعت آشفته شعله
u'	(m/s)	شدت آشفتگی
V_f	(m ³)	حجم ناحیه سوخته شده
\bar{V}_p	(m/s)	سرعت متوسط پیستون
y	(m) (در سیستم مختصات x)	بعد مکانی (در سیستم مختصات x)
α		پارامتر ثابت
β		پارامتر ثابت
ϵ	(m ² /s ³)	نرخ اتلاف انرژی جنبشی آشفتگی
η		مقیاس کولموگروف
μ_t	(N. m.s)	لزجت آشفتگی
ρ_u	(kg/m ³)	دانسیته مخلوط سوخت و هوا
v	(m ² /s)	لزجت سینماتیک مخلوط سوخت و هوا
ϕ		نسبت همارزی



شکل (۱) ساختار گردابه های آشفتگی (اندازه گردابه های بزرگ متناسب با مقیاس انتگرالی = l ، ریز مقیاس تیبور = λ ، اندازه گردابه های کولموگروف = η)

در اینجا نیز فرض $L_{\max}/L_{\min} = h_{gap}/3.55\eta \approx L_i/\eta \approx l/\eta$ می‌شود. پیشگویی‌های دقیق‌تری را نتیجه می‌دهد. دوباره همانند حالت قبلی منحنی‌های مربوط به بهترین فرض ترسیم شده‌اند و همان نتایج که در قسمت اثرات تغییرات بار عنوان شد، (در مورد وضعیت خط‌ها) به طور تقریبی در این قسمت نیز صادق است.

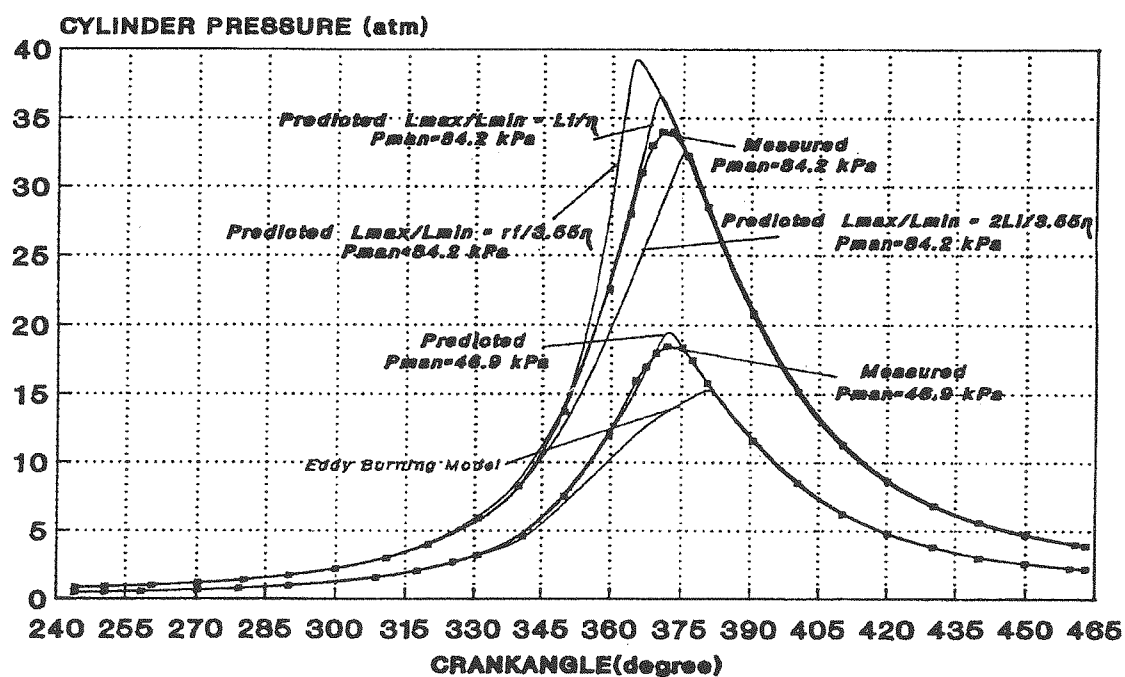
منحنی‌های کسر جرمی سوخته شده و کسر حجمی سوخته شده مربوط به پایین ترین و بالاترین بار در شکل‌های ۴ و ۵ آورده شده است. البته نتایج آزمایشگاهی در این مورد موجود نبوده است و تنها پیشگویی‌های طرح ارائه گردیده است.

فهرست علائم

A_L	(m ²)	سطح شعله آرام
A_T	(m ²)	سطح شعله آشفته
a		پارامتر ثابت وابسته به نسبت سوخت و هوا و نوع سوخت
B	(m)	قطر سیلندر
		پارامتر ثابت وابسته به نسبت سوخت و هوا و نوع سوخت
b		ضریب ثابت غیرقابل تنظیم
C_3		ضریب ثابت غیرقابل تنظیم
C_μ		ضریب ثابت قابل تنظیم
C_β		در مدل شعله مواجه
D_3		بعد موج
f		نسبت گازهای باقیمانده
		فاصله لحظه‌ای بالاترین نقطه پیستون
h_{gap}	(m)	تا بالاترین نقطه محفظه احتراق
k	(N. m)	انرژی جنبشی آشفتگی
K	(1/s)	ضریب انبساط شعله وابسته به میزان انبساط
K_E	(1/s)	ضریب انبساط شعله وابسته به میزان کشش در گردابه‌های کوچک
		ماکریم مقیاس چین خوردنگی شعله
L_{\max}		می‌نیم مقیاس چین خوردنگی شعله
L_{\min}		مقیاس انتگرالی آشفتگی
L_i		جرم به تله افتاده داخل سیلندر
m	(kg)	نرخ جرم‌های خروجی از سیلندر
\dot{m}_e	(kg/s)	نرخ سوختن مخلوط سوخت و هوا
\dot{m}_b	(kg/s)	فشار داخل سیلندر
P	(Pa)	نرخ تولید انرژی جنبشی آشفتگی

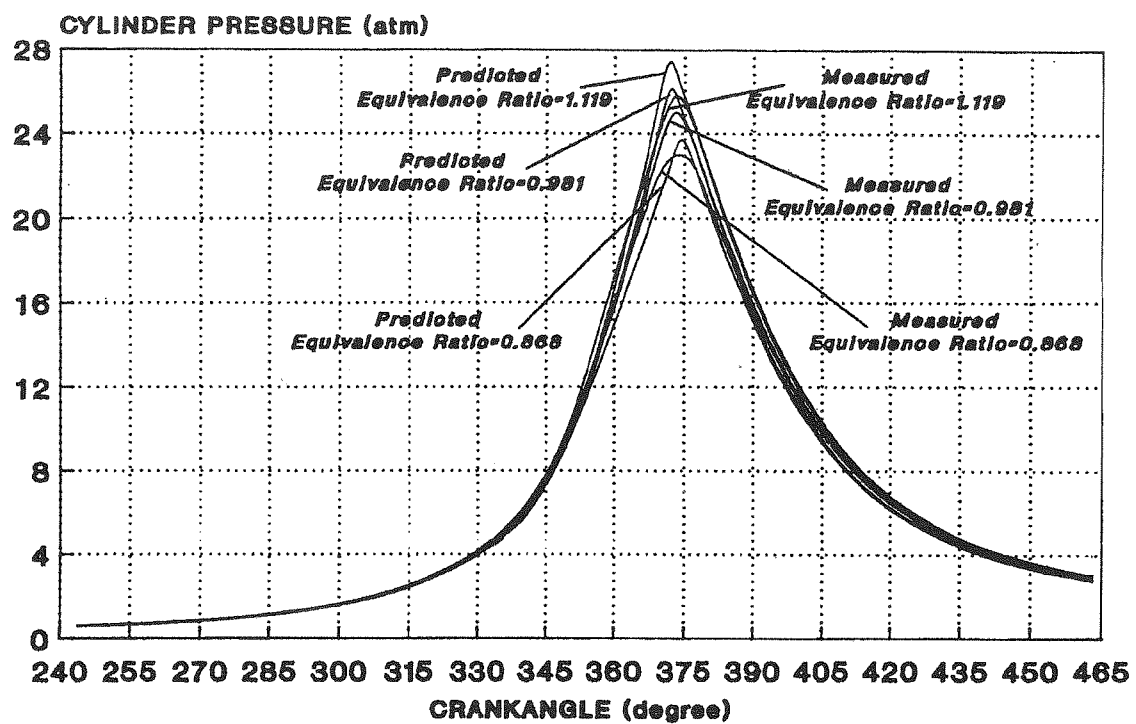
جدول (۱) مشخصات موتور پرینسپن [۲۲]

۸/۵۶		نسبت تراکم
۱۰۵	(mm)	قطر سیلندر
۱۵۸	(mm)	طول شاتون
۱۲/۶	(mm)	لتنی مربوط به حجم مرده
۲۲۲°	ATDC	زمان بسته شدن سوپاپ ورودی
۱۰۳°	ATDC	زمان باز شدن سوپاپ خروجی
۲۷°	BTDC	زمان جرقه زنی
۱۵۰۰	(RPM)	دور موتور
٪۴۰/۲		راندمان حجمی
۲۲/۱	(m ^۳ /s ^۲)	انرژی جنبشی آشفتگی در زمان بسته شدن سوپاپ ورودی
۲/۴۱	(m/s)	شدت انرژی آشفتگی در زمان جرقه زنی
۱	(mm)	فاصله نهانه شمع
بروپاپ - هوا	[$\phi = ۰/۸۶۹$]	نوع مخلوط سوخت و هوا
٪۱۲	جرمی	نسبت گازهای باقیمانده



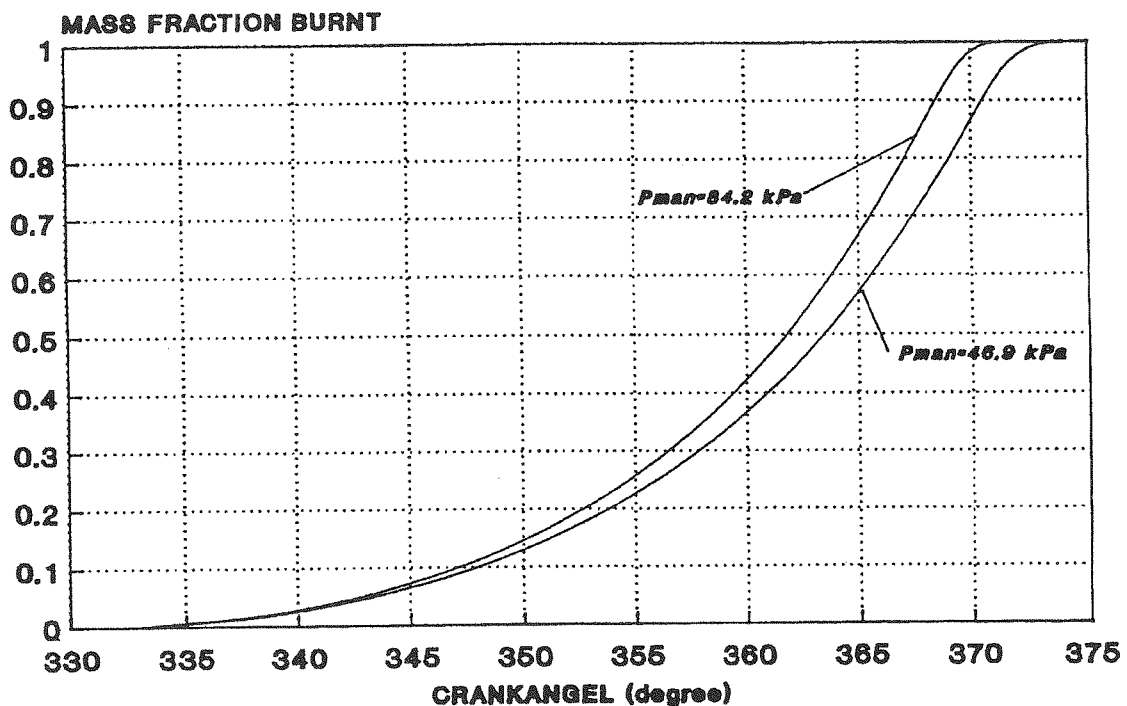
شکل (۲) مقایسه فشار پیشگویی شده با فشار اندازه گیری شده به ازاء بارهای متفاوت

$$\phi = ۰/۸۶۸, ۱۵۰۰ \text{ rpm}, \eta_{vol} = ۰.۴۰/۱, P_{man} = ۴۶/۴ \text{ kPa} \text{ و } \eta_{vol} = ۰.۶۰/۲, P_{man} = ۸۴/۲ \text{ kPa}$$



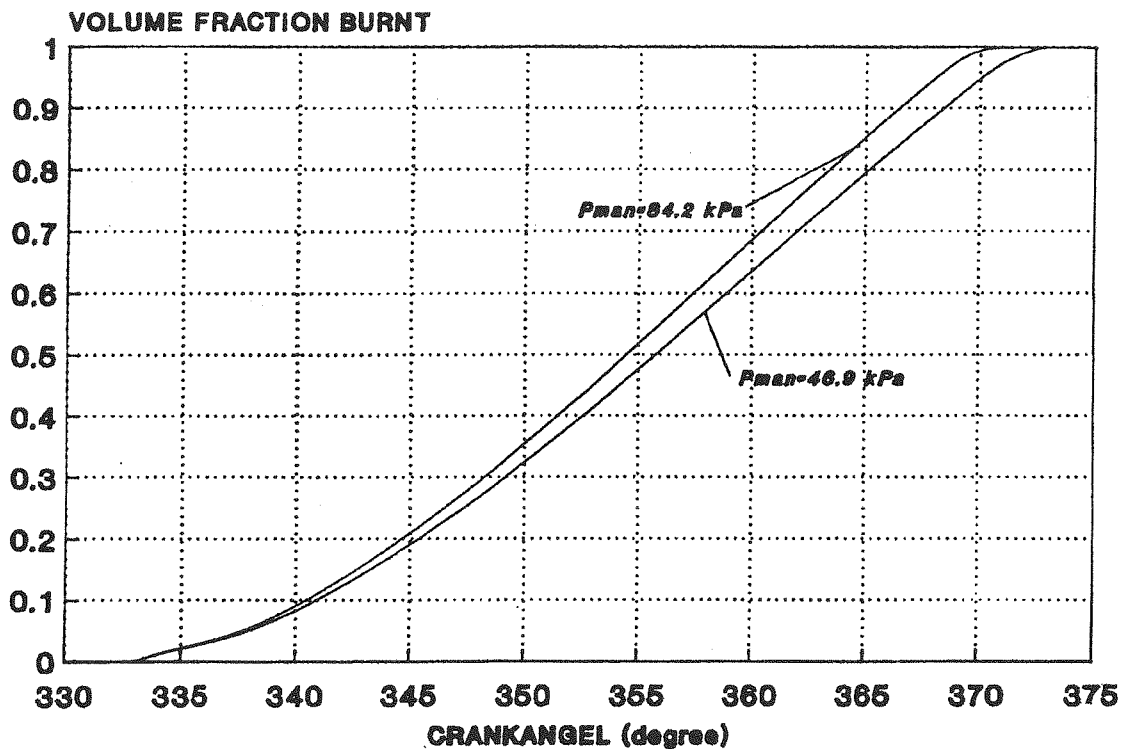
شکل (۳) مقایسه فشار بیسگویی شده با فشار اندازه گیری شده به ازاء نسبت های هوازی متفاوت

$$\eta_{vol} = \frac{V_f}{V_i} / 10 \cdot P_{man} = 51/10 \text{ kPa} \cdot 1500 \text{ rpm.} (\phi = 0.981 \text{ و } \phi = 1/1.119)$$



شکل (۴) مقایسه کسر جرمی سوخته شده به ازاء بارهای متفاوت

$$\phi = 0.981 \cdot 1500 \text{ rpm.} (\eta_{vol} = 51/10 \cdot P_{man} = 26/1 \text{ kPa} \text{ و } \eta_{vol} = 51/10 \cdot P_{man} = 82/2 \text{ kPa})$$



شکل (۵) مقایسه کسر حجمی سوخته شده به ازاء بارهای مختلف

$$\phi = 0 / 188.1800 \text{ rpm}, (\eta_{vol} = 30 / 1, P_{max} = 46.9 \text{ kPa}) \text{ و } (\eta_{vol} = 60 / 2, P_{max} = 84.2 \text{ kPa})$$

مراجع

- [1] Chin, Y-W., Matthews, R.D., Nichols, S. P. and Kiehne, T. M. (1989), "Use of fractal geometry to model turbulent combustion in a quasidimensional engine code", Presented at the Spring Meeting of the Western States Section of the Combustion Institute, Paper WSS / CI 89-27, Pullman, WA.
- [2] Chin, Y-W., Matthews, R.d., Nichols, S. P. and Kiehne T. m. (1989), " Use of fractal geometry to model turbulent combustion in SI engines", Combustion Science & Technology, 8(1-6), pp 1-30.
- [3] Mathews, R. D., and Chin, Y-W (1991), "A fractal-based SI engine model: comparisons of predictions with experimental data", SAE Paper 910079.
- [4] Wu C M., Roberts C E, Matthews R D. and Hall M.J. (1993), "Effects of Engine Speed on Combustion in SI Engines Comparisons of predictions of a Fractal Burning Model with Experimental Data, SAE Technical Paper 932714.
- [5] رضا آملی مقدم ترشیز. شبیه سازی احتراق آشفته در موتورهای اشتعال جرقه ای با روش سطوح شعله موج (Fractal germetry) – پایان نامه کارشناسی ارشد - گروه مکانیک دانشکده مهندسی دانشگاه فردوسی مشهد - پاییز ۱۳۷۵ .
- [6] Blumberg, P. N., Lavoie, G. A, and Tabaczynski, R. J. (1979), " Phenomenological models for reciprocating internal combustion engines", Progress in Energy and Combustion Science 5, pp 123-167.
- [7] Bizzard, N. C, and Keck, J. C. (1974), "Experi-

- mental and theoretical investigation of turbulent burning model for internal combustion engines”, SAE Technical Paper 740191.
- [8] Tabaczynski, R. J., Ferguson C. R. and Radhakrishnan, K. (1977), “A turbulent entrainment model for spark ignition engine combustion”, SAE Technical Paper 770647.
- [9] Borgnakke, C., Arpacı, V., and Tabaczynski, R. J. (1980), “A model for the instantaneous heat transfer and turbulence in a spark ignition engine”, SAE Technical Paper 800287.
- [10] Borgnakke, C., Davis, G. C. and Tabaczynski, R. J. (1981), “Prediction of in-cylinder swirl velocity and turbulence intensity for an open chamber cup-in-piston engine”, SAE Technical Paper 810224.
- [11] Davis, G. C. and Borgnakke, C. (1982), “The effect of in-cylinder flow processes (swirl, squish, and turbulence intensity) on engine efficiency ; model predictions”, SAE Technical Paper 820045.
- [12] Gouldin, F. C. (1987), “An application of fractals to modeling premixed turbulent flames”, Combustion & Flame 68(3), pp 249-266.
- [13] Abraham, J., Williams, F. A. and Bracco, F. V. (1985), “A discussion of turbulent flame structure in premixed charges”, SAE Technical Paper 850345.
- [14] Shchelkin, K. I (1943), Zh. Tekn. Fiz. 13, pp 520-530 (English translation: NACA Tech. Memo 1110, 1947).
- [15] Gouldin, F. C., Hilton, S. M. and Lamb, T. (1988), “Experimental evaluation of the fractal geometry of flamelets”, 22nd Symposium (international) on Combustion, the Combustion Institute, Pittsburgh, pp 541-550.
- [16] Murayama, m. and Takeno, T. (1988), “Fractal-like character of flamelets in turbulent premixed combustion”, 22nd Symposium (international) on Combustion, the Combustion Institute, Pittsburgh, pp. 551-559.
- [17] Mantzaras, J., Felton, p. G. and Bracco, F. V. (1988), “Three-dimensional visualization of premixed charge engine flames: island of reactants and products; fractal dimension; and homogeneity”, SAE Technical Paper 881635.
- [18] Fraser, R. A., Feltou, P. G., Bracco, F. V. and Santavicca, D. A. (1986), “Preliminary turbulence length scale in a motored engine”, SAE Technical Paper 860021.
- [19] Francke, Ch. and Peter N. (1990), “New aspects of the fractal behavior of turbulent flames” Poster Paper P82, 23rd Symposium (international) on Combustion, Orleans, France.
- [20] North, G. L., and Santavicca D. A. (1986), “Fractal analysis of premixed turbulent Flame structure”, presented at the Fall technical Meeting of the Eastern State Section of the Combustion Institute, San Juan, Puerto Rico.
- [21] Liou, D., North, G. L. and Santavicca, D. A. (1990), “A fractal model of turbulent flame kernel growth”, SAE Technical Paper 900024.
- [22] Groff, E. G. Alkidas, A. C. and Myers, J. P. (1981), “Combustion data for an axisymmetric homogeneous charge spark ignition engine”, General Motors Research Laboratories Report No. 3577.
- [23] Kuo, T. W. and Reitz, R. D. (1989), “Computation of premixed-charge combustion in pancake and pentroof engines”, SAE Technical Paper 890670.
- [24] Metghalchi, M. and Keck, J. C. (1982), “Burning velocities of mixture of air with methanol, iso-octane, and indolene at high pressure and temperature”, Combustion & Flame 48, pp 191-210.
- [25] Chung, S. H., and Law, C. K. (1988), “An integral analysis of the structure and propagation of stretched premixed flames”, Combustion and Flame 72, pp 325-336.
- [26] Law, C. K. (1988), “Dynamics of stretched flames”, 22nd Symposium (international) on

- Combustion, the Combustion Institute, pittsburgh, pp 1381-1402.
- [27] Woschni, G. (1967), "A universally applicable equation for the instantaneous heat transfer coefficient in the internal combustion engine", SAE Technical Paper 670931.
- [28] Benson, R. S. (1977), Advanced Engineering Thermodynamics (second Edition), Pergamon press Ltd.
- [29] Heywood, J. B. (1988), Internal Combustion Engine Fundamental, McGraw-Hill, New York.
- [30] Reid, R. C., Prausnitz, J. M. and Poling, B. E. (1986), "The properties of gases & liquids," McGraw-Hill, New York.
- [31] Barr, P. K., and Witze, P. O. (1986). "Some limitations to the spherical flame assumption used in phenomenological engine model", SAE Technical Paper 880129.
- [32] Poulos, S. G., and Heywood, J. B. (1983), "The effect of chamber shape on spark ignition engine combustion", SAE Technical Paper